

線状柔軟物体のマニピュレーションにおける形状分岐現象のモデリング

◦ 和田隆広^y 若松栄史^z Brenan J. McCarragher[□] 平井慎一^{□□} 米澤毅^{□□}

y 香川大学工学部

z 大阪大学工学部

□ Fac.of Engineering, Australian National Univ. □□ 立命館大学ロボティクス学科

Email: wachan@robot.club.ne.jp

Modeling of Shape Bifurcation Phenomena in Manipulations of Deformable String Objects

Takahiro Wada^y, Hidefumi Wakamatsu^z, Brenan J. McCarragher[□],
Shinichi Hirai^{□□}, and Takeshi Yonezawa^{□□}

y Fac.of Engineering, Kagawa Univ.

z Faculty of Engineering, Osaka Univ.

□ Fac.of Engineering, Australian National Univ. □□ Dept. of Robotics, Ritsumeikan Univ.

Abstract

A systematic approach to the modeling of deformable rodlike objects is presented. Various rodlike objects such as cords and wires are manipulated in many manufacturing processes. In such processes, it is important for successful manipulation to evaluate their shapes on a computer in advance because their shapes can be changed easily and their deformation often shows hysteresis properties. In this paper, we will develop an analytical method to model the shape of deformable rodlike objects including hysteresis properties. First, we will investigate the mechanism of hysteresis. Second, the potential energy of a rodlike object and the geometric constraints imposed on it are formulated. The shape of the object can be derived by minimizing the potential energy under the geometric constraints. Thirdly, a procedure to compute the shape of a deformed rodlike object is developed by applying a nonlinear programming technique. Finally, we show some numerical examples with hysteresis using our proposed method.

1 はじめに

多くの生産現場において、ゴム、ワイヤ、布地等の柔軟物体を取り扱う作業が存在する。柔軟物体を操作するために、物体の変形を利用することが多い。一方、柔軟物体の変形を予測できなければ、不適切な変形のために作業に失敗することもある。そこで、事前に物体の変形を予測して、効果的に作業を実現するために、柔軟物の変形モデリングが重要となる。特に、ワイヤ等の線状物体は小さな力で容易に変形するため、その変形をモデリングすることが望まれている。

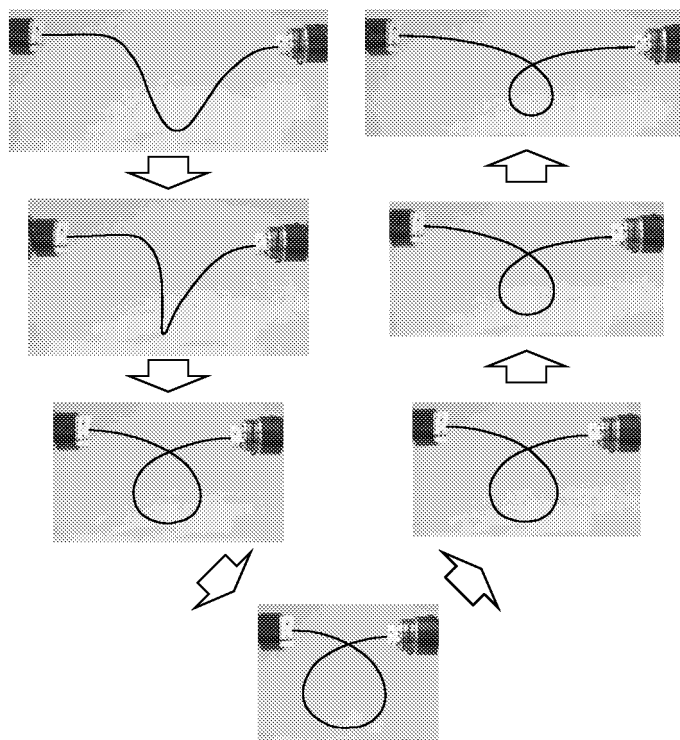
フレキシブルビームやワイヤのような線状物体のモデリングやマニピュレーションに関する研究が従来より多くなされている。Zheng et al. は、ビームを穴に挿入するための作業戦略を導いた [1]。著者らは、線状物体の静的な変形をモデリングする手法を提案している [2]。Nakagaki et al. は、電線を穴に挿入するために、電線のモデルと視覚センサを併用する手法を提案した [3]。Nishinari は、線状物体のモデル化を行い、ループ構造の解析を行った [4]。この論文では線状物体の 2 次元平面内での変形しか取り扱っておらず、物体のねじ

り等が記述できない。しかしながら、ループ構造は、本質的には物体の 3 次元空間内でのねじり等によって発生するため、この研究では不十分である。

実際の線状物体マニピュレーションにおいて、物体に同じ拘束条件を与えても操作の経路によって様々な形状をとることが確認されている。本研究ではこれを形状分岐現象と呼ぶ。線状物体マニピュレーションにおいて、物体の変形を事前に予測するためには、この形状分岐現象をモデル化する必要がある。

そこで本稿では、線状物体の変形形状を、形状分岐現象を含めてモデル化する手法を提案する。

本稿の内容は次の通りである。まず、実験により、形状分岐現象の例を示す。次いで、形状分岐現象の発生メカニズムを解明するため、物体のエネルギーに基づいた仮説を立てる。また、線状物体の変形を記述する方法を提案する。また、物体のポテンシャルエネルギー等を定義する。物体の形状は、ポテンシャルエネルギーが極小値をとるよう、変化して行く。シミュレーション結果により、今回提案する仮説によって、形状分岐現象が確認できることを示す。



(a) shortening the distance (b) lengthening the distance

Fig. 2: Experimental results with shape bifurcation in deformation ($\lambda_0 = 2:25\%$)

であることに注意する。つまり、ベクトル $\mathbf{x}^3(s)$ は微分 $d\mathbf{x}=ds$ と等しい。このとき、点 $P(s)$ の位置ベクトルは次式で与えられる。

$$\mathbf{x}(s) = \mathbf{x}_0 + \int_0^s \mathbf{x}^3(s) ds \quad (2)$$

ここに、 $\mathbf{x}_0 = [x_0; y_0; z_0]^T$ は物体の $s = 0$ における端点の位置ベクトルである。

物体の曲げ、ねじれを表現するために、物体の曲率およびねじれ率を定義する。曲率・およびねじれ率は次式で与えられる [2]。

$$\begin{aligned} \kappa^2 &= \left\| \frac{d^3 \mathbf{x}(s)}{ds^3} \right\|^2 = \left(\frac{d\mu}{ds} \right)^2 + \sin^2 \mu \left(\frac{d\tilde{A}}{ds} \right)^2 \\ \tau^2 &= \left\| \frac{d\mathbf{x}(s)}{ds} \times \mathbf{x}^3(s) \right\|^2 = \left(\frac{d\tilde{A}}{ds} \cos \mu + \frac{d\tilde{A}}{ds} \right)^2 \quad (3) \end{aligned}$$

以上により、線状物体の変形形状は、オイラー角によって表現することができる。

3.2 ポテンシャルエネルギーの定式化

前提条件として、物体には弾性変形のみが生じるものとし、物体は中心軸方向には伸縮しないものとする。すなわち、ポテンシャルエネルギーとしては、曲げ、ねじれによるひずみエネルギーと、重力による位置エネルギーとを考える。各点の曲げモーメントは曲率・に、ね

じりモーメントはねじれ率 τ に比例すると仮定すると、物体のポテンシャルエネルギー U は、次式で表すことができる。

$$U = \frac{1}{2} \int_0^L R_f \kappa^2 ds + \frac{1}{2} \int_0^L R_t \tau^2 ds + \int_0^L D x ds \quad (4)$$

ここで、 R_f は曲げ剛性、 R_t はねじり剛性、 D は単位長さ当たりの質量を表す。

3.3 幾何学的拘束条件の定式化

物体にはハンドや作業環境によって様々な制約条件が課される。ここではそのような制約条件を定式化する。

物体上の2点が位置の拘束を受けている状況を考える。ベクトル $\mathbf{l} = [l_x; l_y; l_z]^T$ を、物体の2点 $P(s_a), P(s_b)$ の相対位置と定義する。これより、次式の拘束条件を満たさねばならない。

$$\mathbf{x}(s_b) - \mathbf{x}(s_a) = \mathbf{l} \quad (5)$$

物体上のある一点 $P(s_c)$ における姿勢が制御される場合がある。姿勢の拘束条件は次式で表現できる。

$$\begin{aligned} \tilde{A}(s_c) &= \tilde{A}_c \\ \mu(s_c) &= \mu_c \\ \tilde{A}(s_c) &= \tilde{A}_c \end{aligned} \quad (6)$$

ここに、 $\tilde{A}_c, \mu_c, \tilde{A}_c$ は $P(s_c)$ に拘束として与えられたオイラー角である。

ここで、作業環境に障害物がある場合、線状物体上の任意の点は障害物の外側になくなくてはならない。ここで障害物の表面が関数 $h(x; y; z) = 0$ で表されているとし、障害物の内部においてこの関数値が正になるとする。このとき、線状物体が障害物の外側にあるという拘束条件は次式で表される。

$$h(x(s)) \cdot 0; \quad 8s \in [0; L] \quad (7)$$

線状物体の一部が自分自身の他の点と干渉することがある。自己干渉が生じないために、次の制約条件が課される。

$$\|x(s_i) - x(s_j)\| \geq 2r; \quad 8s_i, s_j \in [0; L]; \quad s_i \neq s_j \quad (8)$$

ここに、 r は線状物体の半径を表す。

[回転量の保存]

第2章の実験のように、線状物体の一端を 2π 回転させ、その状態を保ったままで両端の間隔を狭める状況を考える。このような状況下においては、最初に与えられた回転量が物体内で保存される。つまり、最初にねじりとして与えられた回転量は、変形に従ってその一部が曲げ等に変化することも考慮に入れれば、変形を生じても回転量が維持されるのである。ここで、物体に与えられた回転量を、物体座標系に対する物体の回転率で記述する方法を導入する。回転率ベクトル $dr(s) = ds$ を次式で定義する。

$$\frac{dr(s)}{ds} = [dr_1 = ds; \quad dr_2 = ds; \quad dr_3 = ds]^T$$

$$= \begin{bmatrix} \frac{d\mu(s)}{ds} \sin(\bar{A}(s)) & \frac{dA(s)}{ds} \sin(\mu(s)) \cos(\bar{A}(s)) \\ \frac{d\mu(s)}{ds} \cos(\bar{A}(s)) & \frac{dA(s)}{ds} \sin(\mu(s)) \sin(\bar{A}(s)) \\ \frac{A(s)}{ds} \cos(\mu(s)) & \frac{\bar{A}(s)}{ds} \end{bmatrix} \quad (9)$$

式(9)において、 $dr_1 = ds$, $dr_2 = ds$, $dr_3 = ds$ は、それぞれ x, y, z 軸まわりの物体の回転率を表す。

さらに、物体全体 $(s \in [0; L])$ を通した回転を次式で定義する。

$$f = \int_0^L \frac{dr(s)}{ds} ds \quad (10)$$

結果として、回転量はベクトル f のユークリッドノルム $\|f\|$ により表現できる。そこで、次式が制約条件として課される。

$$\|f\| = 2\pi; \quad (11)$$

ここに、 2π [rad] は、物体に与えられた初期ねじれ角である。

一方、式(11)だけでは、回転の符号を表現できない。回転の符号は、 z 軸周りの回転の符号で与えられる。つまり、式(12)によって回転の符号が表される。

$$\text{sgn}(2\pi) = \text{sgn}\left(\int_0^L dr_3(s) = ds\right); \quad (12)$$

以上により、最終的に次の制約条件を考慮に入れよう。

$$\dot{A}(0) = \mu(0) = \bar{A}(0) = 0 \quad (13)$$

$$\mu(L) = [1; 0; 0]^T; \quad \bar{A}(L) = [0; 1; 0]^T \quad (14)$$

$$\|f\| = 2\pi; \quad (15)$$

$$\text{sgn}\left(\int_0^L dr_3(s) = ds\right) = \text{sgn}(2\pi) \quad (16)$$

式(15), (16) は、物体中に与えられた回転が系に保存されるための条件を表している。式(14) は、 $s = L$ における物体座標系の姿勢が作業座標系の姿勢と一致することを意味している。

以上より、線状物体の形状は、式(4)で表されるポテンシャルエネルギーを式(13) { (16) で表される幾何学的拘束条件の下で最小化することにより求められる。つまり、変形形状の計算は、等式および不等式拘束条件付の変分問題に帰着される。

4 変形形状の計算

4.1 計算方法

前章で述べたように、線状物体の変形形状の計算は、拘束条件付の変分問題に帰着される。本稿では、非線形計画法に基づく直接的な方法 [5] によってこの変分問題を解く。これにより停留条件に基づく Euler の解法では扱えない不等式条件等も考慮することができる。

まず、オイラー角を、基底関数 $e_1(s)$, $e_2(s)$, $e_3(s)$, $e_n(s)$ の線形和で表現する。

$$\begin{bmatrix} \dot{A}(s) \\ \mu(s) \\ \bar{A}(s) \end{bmatrix} = \begin{bmatrix} a_A^T \\ a_\mu^T \\ a_{\bar{A}}^T \end{bmatrix} \begin{bmatrix} e_1(s) \\ e_2(s) \\ e_3(s) \\ e_n(s) \end{bmatrix} \quad (17)$$

ここに、 a_A , a_μ , $a_{\bar{A}}$ はそれぞれ $\dot{A}(s)$, $\mu(s)$, $\bar{A}(s)$ に対応する係数ベクトルを表し、 $e(s)$ は、基底関数 $e_1(s)$, $e_2(s)$, $e_3(s)$, $e_n(s)$ を要素とするベクトルである。ここで、全係数ベクトルを $a = [a_A^T; a_\mu^T; a_{\bar{A}}^T]^T$ で定義する。式(17)を式(4)に代入すると、ポテンシャルエネルギー U は係数ベクトル a の関数となる。幾何拘束条件もまた、係数ベクトルの関数として表現される。

物体の形状は、与えられた拘束条件の下でポテンシャルエネルギーを最小にするような、係数ベクトル a を求めることによって計算できる。この制約条件付き最適化問題は、乗数法などの非線形計画法 [6] により解くことができる。結果として得られた係数ベクトルに対応する物体の形状は、式(2)を用いて計算できる。

4.2 エネルギー最適化のアルゴリズム

2.2節で述べたように、どのような最適化手法によってポテンシャルエネルギーを最小化するかが重要である。ここで、従来の最適化アルゴリズムはすべて、グローバルミニマムを見つけだすように開発されている点に注意されたい。換言すれば、従来手法はローカルミニマムをさけるよう設計されているのである。そのため、そのようなアルゴリズムは本研究の目的に対しては不

適切である。なぜなら、形状分岐現象を含む柔軟物の変形においては、ローカルミニマムが重要な役割を果たすからである。それゆえ、物体の変形記述における物理的意味に適した新しい最適化アルゴリズムを開発する必要がある。これは、今後の重要な課題の一つである。ここでは簡単のため、探索範囲を小さく取れば比較的ローカルミニマムに陥りやすい、Nelder-Mead法[6]を採用する。

5 計算例

本章では、提案する計算手法および提案する形状分岐現象メカニズムに関する仮説の妥当性を検証するために、計算例を示す。

基底関数としては次式を採用した。

$$\begin{aligned} e_1(s) &= 1; & e_2(s) &= s; \\ e_{2n+1}(s) &= \sin \frac{n\pi s}{L}; \\ e_{2n+2}(s) &= \cos \frac{n\pi s}{L}; \quad (n = 1; 2; 3; 4) \end{aligned}$$

物体の一端を固定し、他端を物体の中心軸まわりに 2π [rad] 回転させる。両端の姿勢は操作を通じて常に固定されている。次いで、両端の間隔を狭める。その後、両端の間隔を広げていき、最終的初期状態へ戻す。

姿勢に関する拘束条件は、式(13)、(14)によって表される。 2π 回転されたという拘束条件は、式(15)と(16)で表現される。両端の間隔に関する拘束条件は次式で表される。

$$x(L)_i; x(0) = [0; 0; l_2]^T \quad (18)$$

ここに l_2 は両端の間隔である。 l_2 を変化させることで、両端の間隔を狭め、広げる作業を表現する。

Fig.6に計算結果を示す。この図において、丸印は $P(s)$ の位置を表しており、丸印から出ている線分は点 $P(s)$ における物体座標系の x 軸を表す。

定性的には、この計算結果は Fig.2の実験結果と似ていることがわかる。つまり、両端を縮める過程の初期段階においては、物体は曲げ変形とねじれ変形を呈する。縮める過程の最後において、物体はループ構造を作る。一方、両端を広げる過程においては、縮める場合よりもループ構造を維持する区間が長い。

Fig.5に、変形におけるエネルギーレベルを表す。この図より、縮める方向と、広げる方向では、エネルギーレベルがことなることが読みとれる。

シミュレーション結果より、変形形状および形状分岐現象が、提案する手法により記述できることがわかった。これより、我々の提案する手法が、形状分岐現象を含む、柔軟物の変形の記述に適していることが結論づけられる。

6 まとめ

本稿では線状物体の、形状分岐現象を含む3次元空間における変形モデルを提案した。まず、形状分岐現象を伴う実験結果を示した。次いで、ポテンシャルエネルギーに基づく、形状分岐現象発生メカニズムの仮説を立てた。その中で、エネルギー場におけるローカルミ

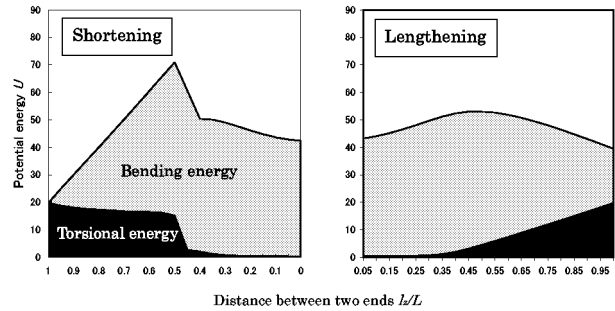


Fig. 5: Energy levels during deformation

ニマムの重要性を述べた。また、線状物体の形状の幾何表現方法を示した。さらに、物体のポテンシャルエネルギー、および物体に課される幾何学的拘束条件の記述方法を定式化した。その中で、物体中に与えられた回転量が保存されることを述べ、その記述法を示した。このポテンシャルエネルギーおよび幾何拘束条件を用いて、物体の変形形状を、非線形計画法により計算する手法を提案した。また、形状分岐現象に重要であるローカルミニマム発生に適した手法を最適化に用いることを提案した。最後に、提案する手法を用いた計算例を示し、提案する手法により形状分岐現象を含む変形形状を記述できることが結論づけられた。

本稿で示した手法により、線状物体のマニピュレーションの計画が可能になると期待できる。

今後の課題としては、4.2節で述べたように、柔軟物の変形の物理的意味を考慮に入れるのに適した、新しい最適化手法の開発が挙げられる。

参考文献

- [1] Zheng, Y. F., Pei, R., and Chen, C., Strategies for Automatic Assembly of Deformable Objects, Proc. of IEEE Int. Conf. Robotics and Automation, pp.2598{2603, 1991.
- [2] Wakamatsu, H., Hirai, S., and Iwata, K., Modeling of Linear Objects Considering Bend, Twist, and Extensional Deformation, Proc. of IEEE Int. Conf. Robotics and Automation, pp.433{438, 1995.
- [3] Nakagaki, H., Kitagaki, K., Ogasawara, T., and Tsukune, H., Study of Insertion Task of a Flexible Beam into a Hole by Using Visual Tracking Observed by Stereo Vision, Proc. of IEEE Int. Conf. Robotics and Automation, pp.3209{3214, 1996.
- [4] Nishinari, K., Discrete Modeling of a String and Analysis of a Loop Solution, Tras. of ASME Journal of Applied Mechanics, Vol.65, pp.737{747, 1998.
- [5] Elsgolc, L. E., Calculus of Variations, Pergamon Press, 1961.
- [6] 今野, 山下, 非線形計画法, 日科技連, pp.217{254, 1978.

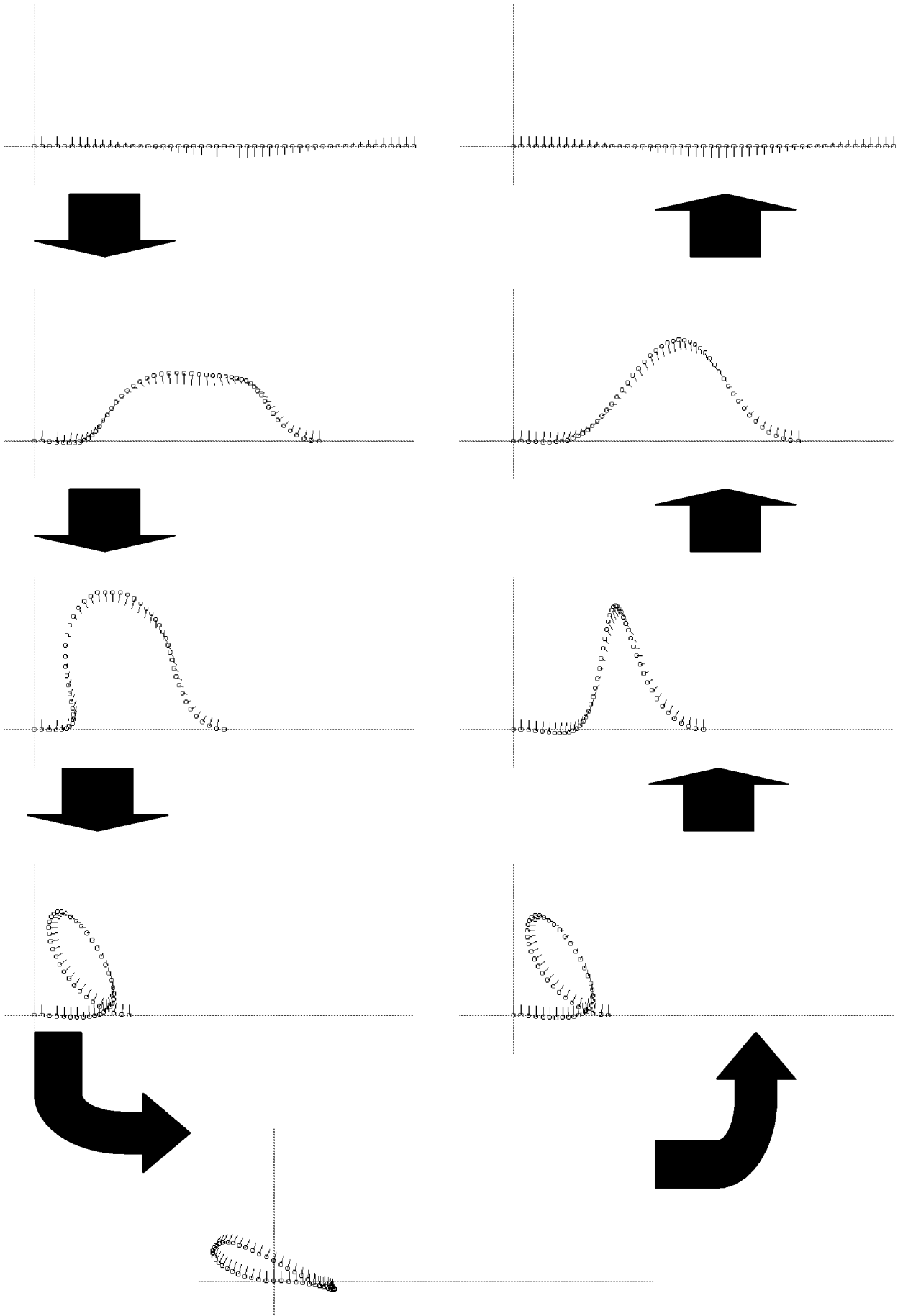


Fig. 6: Computational results with hysteresis